



## تحلیل و بررسی کنفورماسیونی دی پپتید محافظت شده For-L-Ser-L-Ala-NH<sub>2</sub> با استفاده از محاسبات کوانتومی: مطالعه‌ای به روش DFT

بهزاد چهکندی\*، رضوان محمدآبادی، مهدی نکوئی

دانشگاه آزاد اسلامی، واحد شاهرود، دانشکده علوم پایه، گروه شیمی، شاهرود، ایران

تاریخ ثبت اولیه: ۱۳۹۸/۰۴/۱۵، تاریخ دریافت نسخه اصلاح شده: ۱۳۹۸/۰۵/۲۵، تاریخ پذیرش قطعی: ۱۳۹۸/۰۷/۱۲

### چکیده

در این مطالعه کنفورماسیون‌های مختلف دی پپتید For-Ser-Ala-NH<sub>2</sub> با استفاده از روش DFT در سطح محاسباتی B3LYP/6-31G(d) مورد بررسی و تحلیل قرار گرفته است. بدین منظور ۵۴ کنفورماسیون حاصل از تغییر زوایای دوجهی زنجیر جانبی سرین و زنجیر اصلی دی پپتید Ser-Ala ( $\chi$  و  $\psi_2, \phi_2, \psi_1, \phi_1$ ) را بهینه نموده و با استفاده از محاسبات فرکانس در سطح مشابه ساختارهای پایدار و مقادیر ترمودینامیکی مربوطه بدست آمده‌اند. از بین ۵۴ کنفورماسیون‌های مورد بررسی در این پژوهش، ۳۵ کنفورماسیون یافت شدند و ۱۹ کنفورماسیون یافت نشدند. کنفورم‌هایی که یافت نشدند به ساختار هندسی دیگری با سطح انرژی پایین‌تر و پایداری بیشتر مهاجرت نموده‌اند. از بین ۳۵ کنفورماسیون یافت شده  $\gamma_L^+ \beta_L$  پایداری‌ترین و  $\gamma_D^+ \beta_L$  ناپایداری‌ترین کنفورماسیون بوده که اختلاف انرژی نسبی بین این دو ۱۴/۶۴ کیلوکالری بر مول است. همچنین از میان ۱۹ کنفورماسیون یافت نشده با ساختارهای کلی  $\beta_L^i - x$  و  $x^i - \beta_L$ ، مهاجرت به کنفورمر  $\gamma_D$  برای باقیمانده‌های سرین و آلانین، بیشترین مهاجرت بوده است، به عبارتی کنفورمر  $\gamma_D$  باعث پایداری بیشتر ساختار دی پپتید می‌شود.

واژه‌های کلیدی: دی پپتید، For-Ser-Ala-NH<sub>2</sub>، نقشه رامانچاندرا، زنجیر جانبی، DFT

### ۱. مقدمه

اسیدهای آمینه به هر دو فرم کنفورماسیونی L و D یافت می‌شوند. در شکل ۱ تصویر آینه‌ای انانتیومرهای L و D نمایش داده شده‌اند. این دو مولکول یکسان نیستند و بر هم منطبق نمی‌شوند. اگرچه موجودات زنده از اسیدهای آمینه L برای سنتز پروتئین‌ها

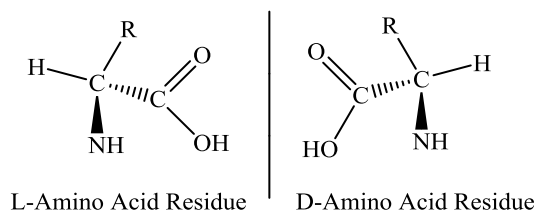
\*عهده دار مکاتبات: بهزاد چهکندی

نشانی: گروه شیمی، دانشکده علوم پایه، دانشگاه آزاد اسلامی، شاهرود، ایران

پست الکترونیک: E-mail: b.chahkandi@gmail.com

تلفن: ۰۲۳۳۲۳۹۴۲۸۹

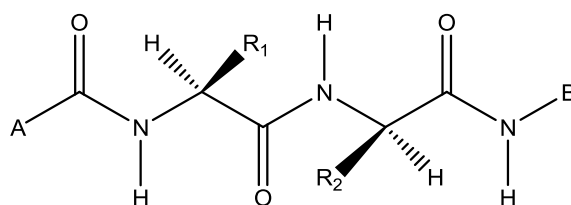
استفاده می‌کنند ولی با ظهور داروهای شامل ایزومرهای D، از جمله داروی ضد سرطان لوپرولئید استات<sup>۱</sup> انانتیومرهای D منافع زیادی برای صنایع دارویی ایجاد کردند. لوپرولئید استات دارویی برای درمان سرطان تخمدان و آندومتريوز<sup>۲</sup> است که شامل نوناپیتیدی است که در ساختارش دی‌پپتید D-لوسین-L-لوسین استفاده شده است [۱]. نمونه‌ای دیگر در این زمینه پنی‌سیلین است که به طور گسترده‌ای به عنوان آنتی‌بیوتیک مورد استفاده قرار می‌گیرد و در ساختارش دی‌پپتید D-آلانین-D-آلانین تکرار شده است [۲]. مدل‌های دی‌پیتیدی به طور فزاینده‌ای در مطالعات چین خوردگی پروتئین‌ها<sup>۳</sup> مورد استفاده قرار می‌گیرند زیرا آنها کوچک‌ترین واحد ساختمانی ممکن را برای مطالعه کنفورماسیون‌های تری‌آمیدی به نمایش می‌گذارند [۳]. به دلیل اهمیت اساسی چین خوردگی پروتئین در ساختمان ارگانسیم‌های زنده، کمک به درک توالی پروتئین‌ها، و همچنین تاثیر بسزایی که در شناسایی بیماری‌های ناشی از چین خوردگی نادرست پروتئین‌ها<sup>۴</sup> دارد، مطالعات زیادی بر روی آن صورت گرفته است [۴،۵].



شکل ۱. تصویر آینه‌ای انانتیومرهای L و D اسیدهای آمینه

حجم زیاد کارهایی که بر روی مدل‌های دی‌پیتیدی انجام شده است ارتباط آنها را در روشن نمودن مکانیسم چین خوردگی پروتئین نشان می‌دهد. دی‌پیتید سرین-آلانین (Ser-Ala) از تشکیل یک پیوند آمیدی بین دو اسید آمینه سرین و آلانین ایجاد می‌شود. هر دو این اسیدهای آمینه آلیفاتیک بوده، سرین با زنجیر جانبی<sup>۵</sup> هیدروکسی متیل (CH<sub>2</sub>OH)، یک اسید آمینه کایرال هیدروفیل و قطبی است در حالی که آلانین با زنجیر جانبی متیل (CH<sub>3</sub>-)، هیدروفوب و غیرقطبی است.

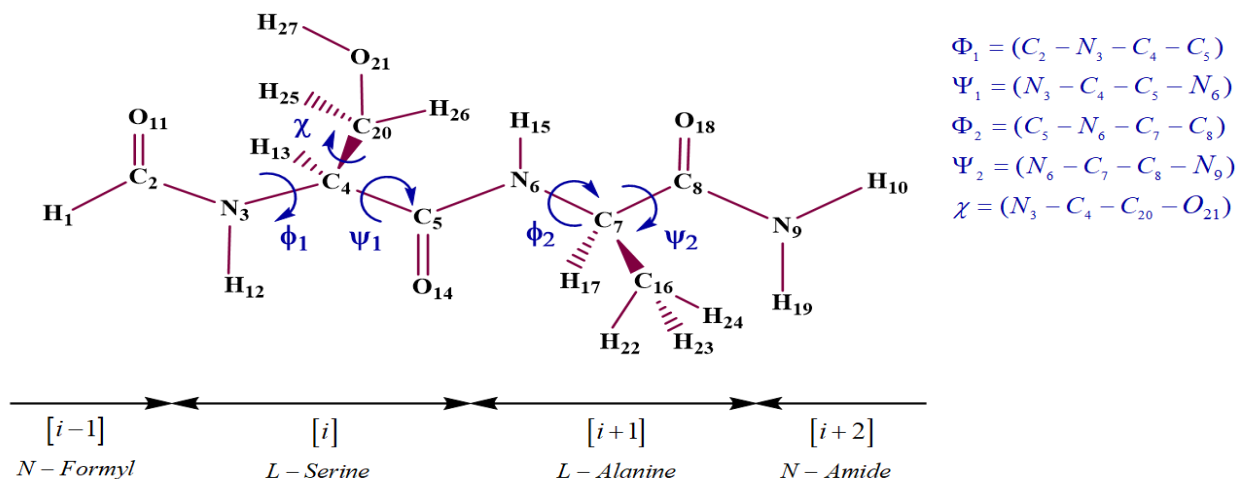
در این بررسی کنفورماسیون‌های مختلف دی‌پیتید HCO-L-Ser-L-Ala-NH<sub>2</sub> مورد مطالعه قرار گرفته‌اند. ساختار کلی دی‌پیتید مورد مطالعه در شکل ۲ نشان داده شده است. A و B می‌توانند CH<sub>3</sub> یا H در نظر گرفته شوند که در این تحقیق A و B به صورت H در نظر گرفته شد. گروه‌های HCO و NH<sub>2</sub> به دو انتهای دی‌پیتید اضافه شده‌اند تا پارامترهای ویژه درونی ساختار اصلی دی‌پیتید در طول زنجیر اصلی از تغییر حفظ شوند.



شکل ۲. ساختار دی‌پیتید HCO-L-Ser-L-Ala-NH<sub>2</sub>

<sup>1</sup>. Leuprolide acetate  
<sup>2</sup>. Endometriosis  
<sup>3</sup>. Protein folding  
<sup>4</sup>. Misfolded proteins  
<sup>5</sup>. Side chain

در این پژوهش با استفاده از محاسبات آغازین<sup>۱</sup> کنفورماسیون‌های مختلف For-Ser-Ala-NH<sub>2</sub> بهینه شده‌اند. در مدل دی‌پپتید مورد مطالعه در همه پیوندهای پپتیدی گروه CO و NH نسبت به هم در موقعیت ترانس قرار دارند. همچنین هر دو کربن آلفا کایرال انانتیومر L هستند که با فرم‌های فیزیولوژی و غالب، هماهنگی دارند (شکل ۳).



شکل ۳. ساختار دی‌پپتید N-For-Ser-Ala-NH<sub>2</sub> با چهار بخش: گروه محافظ پایانه N، باقیمانده سرین، باقیمانده آلانین و گروه محافظ پایانه C، که هر کدام به طور مجزا طبق سیستم شماره گذاری استاندارد شماره گذاری شده‌اند.

در تحلیل و بررسی کنفورماسیونی انجام شده، سعی بر آن بوده که محیط دی‌پپتید در پروتئین تقلید شود. در این مدل با معرفی گروه‌های محافظت کننده فرمیل و NH<sub>2</sub> به ترتیب در انتهای N و C و تشکیل پیوندهای آمیدی، برهمکنش‌های القایی و فضایی بین باقیمانده‌های اسیدهای آمینه مجاور شبیه‌سازی می‌شود.

دی‌پپتید For-Ser-Ala-NH<sub>2</sub> به عنوان یک سیستم دواسید آمینه‌ای و تری‌آمیدی ممکن است کنفورماسیون‌های خاصی از بتاترن‌ها<sup>۲</sup>، که یک ساختار متداول از واحدهای ساختمانی نوع دوم در پروتئین‌های کروی است، را انتخاب کند [۶،۷]. در این پژوهش با استفاده از روش‌های محاسباتی ۵۴ کنفورمر محتمل دی‌پپتید For-Ser-Ala-NH<sub>2</sub> حاصل از چرخش حول زوایای دوجبهی زنجیر اصلی<sup>۳</sup> دی‌پپتید و زنجیر جانبی باقیمانده سرین، مورد بررسی قرار گرفته است. همچنین مهاجرت به ساختارهای پایدارتر برای کنفورمرهایی که موجود نیستند، شناسایی شده است تا پایداری و ناپایداری کنفورمرهای مختلف نمایش داده شود.

## ۲. روش کار

### ۱-۲. تحلیل و بررسی کنفورماسیونی

گروه‌های N-فرمیل و N-آمید به عنوان محافظت کننده به دو انتهای دی‌پپتید Ser-Ala افزوده شده‌اند تا در زنجیره‌های پپتیدی بلندتر رفتار کربن  $\alpha$  را تقلید کنند. ساختار For-L-Ser-L-Ala-NH<sub>2</sub> بر اساس سیستم شماره گذاری استاندارد، شماره گذاری شده

<sup>1</sup>. Ab initio calculations

<sup>2</sup>.  $\beta$ -Turns

<sup>3</sup>. Backbone

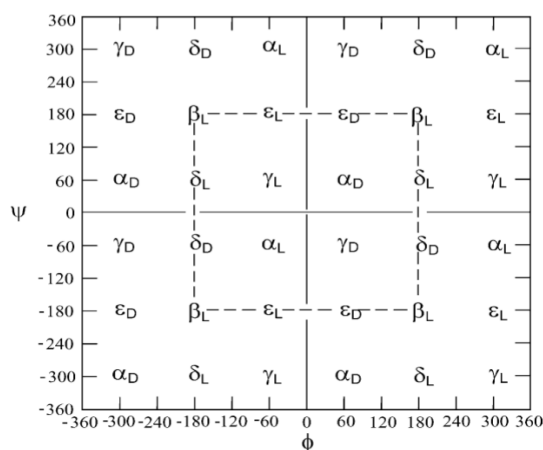
است. دی پپتید مورد مطالعه به چهار بخش تقسیم شده است: گروه محافظ پایانه N، باقیمانده سرین، باقیمانده آلانین و گروه محافظ پایانه C که هر کدام جداگانه شماره گذاری شده اند [۸،۹]. در باقیمانده پپتیدی دو زاویه دووجهی  $\phi$  و  $\psi$  در زنجیر اصلی وجود دارند که به ترتیب مربوط به چرخش حول پیوندهای  $N-C\alpha$  و  $C\alpha-CO$  هستند و زاویه دووجهی مربوط به چرخش حول زنجیر جانبی سرین، با  $\chi$  نامگذاری شده است. در دی پپتید For-L-Ser-L-Ala-NH<sub>2</sub> ارتباط پایداری انرژیتیکی و شکل آن با ۵ زاویه دووجهی شامل  $\phi_1, \phi_2, \psi_1, \psi_2$  و  $\chi$  [۸]، که در شکل ۳ نشان داده شده اند، مورد بررسی قرار گرفته است. چرخش حول هر یک از زوایای دووجهی، ساختارهای گویج منفی ( $g^-$ )، گویج مثبت ( $g^+$ ) و آنتی ( $a$ ) را می توانند ایجاد کنند. بنابراین  $3 \times (3^2) = 54$  کنفورمر مختلف حاصل از چرخش حول زوایای دو وجهی مورد بررسی قرار خواهد گرفت. بر اساس قواعد IUPAC-IUB<sup>1</sup> [۱۰] زوایای چرخشی زنجیر اصلی ( $\phi$  و  $\psi$ ) و زنجیر جانبی ( $\chi$ )، بین مقادیر  $-180^\circ$  و  $+180^\circ$  قرار می گیرند [۱۱].

$$-180 \leq \Phi \leq +180 \quad (۱)$$

$$-180 \leq \Psi \leq +180 \quad (۲)$$

$$-180 \leq \chi \leq +180 \quad (۳)$$

روی نقشه راماجاندران<sup>۲</sup> نیز  $\phi$  و  $\psi$  بین  $-180^\circ$  و  $+180^\circ$  قرار می گیرند که به صورت مربع خط چین در شکل ۴ نشان داده شده است. اما برای نمایش گرافیکی کنفورماسیون های حاصل از چرخش حول زنجیر جانبی، مقادیر  $\chi$ ، همانطور که قبلاً توسط راماجاندران پیشنهاد شده است [۱۲]، بین  $0^\circ$  تا  $+360^\circ$  قرار می گیرد ( $0 \leq \chi \leq +360$ ).



شکل ۴. نمایش توپولوژیکی نقشه راماجاندران برای آمینواسید محافظت شده P-CO-NH-CHR-CO-NH<sub>2</sub> (P و Q می توانند H یا CH<sub>3</sub> باشند) که دو سیکل کامل از تغییرات زوایا بین  $-360^\circ$  تا  $+360^\circ$  را نشان می دهد. قسمت مرکزی که با خط چین مشخص شده است مربوط به قاعده IUPAC است و چهار بخش دیگر که با خطوط پر نمایش داده شده است مربوط به روش متداول تعیین محدوده زوایا هستند. اکثر باقیمانده های پپتیدی ۹ کنفورماسیون منحصر به فرد  $\alpha_D, \epsilon_D, \gamma_D, \delta_D, \beta_L, \delta_L, \gamma_L, \epsilon_L$  و  $\alpha_L$  را اختیار می کنند.

<sup>1</sup>. International Union of Pure and Applied Chemistry -International Union of Biochemistry

<sup>2</sup>. Ramachandran

## ۲-۲. محاسبات مولکولی

همه ساختارها با استفاده از محاسبات کوانتومی به روش DFT در سطح محاسباتی B3LYP [۱۳]، و با استفاده از سری پایه 6-31G(d) بهینه شده و با استفاده از محاسبات فرکانس در سطح محاسباتی مشابه ضمن بدست آوردن مقادیر ترمودینامیکی، پایدار بودن ساختارهای بررسی شده، مورد تأیید قرار گرفته‌اند. انرژی‌های کل بر حسب هارتری بدست آمده‌اند لذا انرژی‌های نسبی بر حسب کیلوکالری برمول ( $kCalmol^{-1}$ ) محاسبه شده‌اند که برای این منظور مقادیر بدست آمده بر حسب هارتری در ضریب  $627/5095$  ضرب شده‌اند. همه محاسبات در دمای  $298/15K$  و فشار  $1atm$  و با استفاده از نرم‌افزار گوسین<sup>۰۳</sup>(G03w) انجام شده است [۱۴].

## ۳. بررسی نتایج

## ۳-۱. بررسی کنفورماسیونی زنجیر جانبی

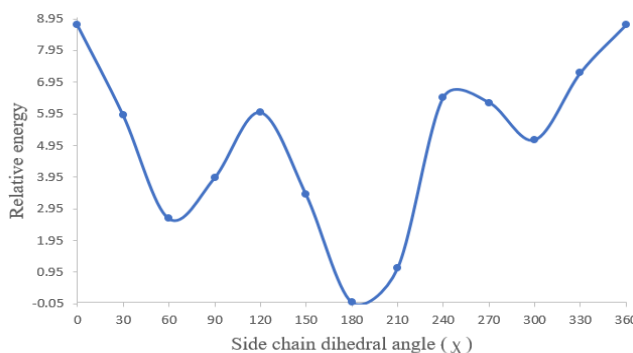
ابتدا زاویه دووجهی زنجیر جانبی ( $\chi$ ) مربوط به باقیمانده سرین را در فواصل  $30^\circ$  درجه از  $0^\circ$  تا  $360^\circ$  درجه تغییر داده و ساختارهای حاصل را با استفاده از روش B3LYP/6-31G(d) بهینه نموده که نتایج آن در جدول ۱ آورده شده است.

جدول ۱. مقادیر انرژی (E) و انرژی نسبی ( $\Delta E_{rel}$ ) کنفورم‌های مختلف For-L-Ser-L-Ala-NH<sub>2</sub> حاصل از چرخش حول زاویه دووجهی زنجیر جانبی ( $\chi$ )

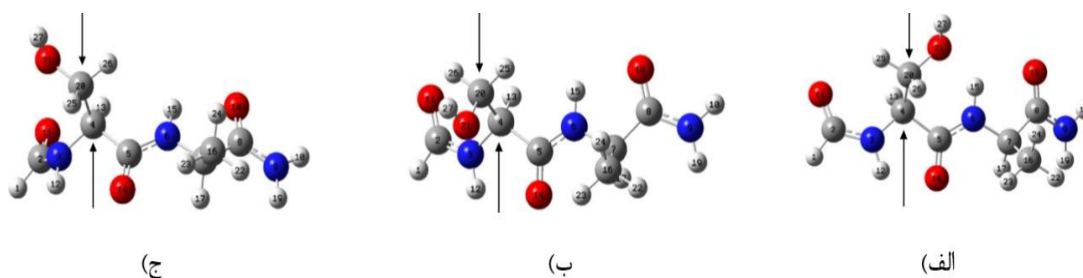
$\chi$	Energy (Hartree)	$\Delta E_{rel}$ ( $kCalmol^{-1}$ )
0	-739.7392112	8.75
30	-739.7437431	5.91
<b>60</b>	<b>-739.7489438</b>	<b>2.64</b>
90	-739.7469095	3.92
120	-739.7436117	5.99
150	-739.7477400	3.40
<b>180</b>	<b>-739.7531551</b>	<b>0.00</b>
210	-739.7514540	1.07
240	-739.7428582	6.46
270	-739.7431223	6.30
<b>300</b>	<b>-739.7449936</b>	<b>5.12</b>
330	-739.7416234	7.24
360	-739.7392112	8.75

همانطور که نتایج جدول ۱ نشان می‌دهد در بین ساختارهای حاصل از چرخش حول پیوند C-C زنجیر جانبی، کنفورمر آنتی پایدارترین ساختار است. انرژی نسبی سه کنفورمر آنتی ( $a, \chi = 180^\circ$ )، گوچ مثبت ( $g^+, \chi = +60^\circ$ ) و گوچ منفی

$(g^-, \chi = -60^\circ)$  به ترتیب ۰، ۲/۶۴ و ۵/۱۲ کیلوکالری برمول هستند. ترتیب پایداری این سه کنفورمر به صورت  $g^- > g^+ > a$  است. نمودار تغییرات انرژی نسبی کنفورمرهای مختلف حاصل از چرخش حول زنجیر جانبی در شکل ۵ آورده شده است و ساختارهای سه بعدی کنفورمرهای  $a$ ،  $g^+$  و  $g^-$  در شکل ۶ نشان داده شده است.



شکل ۵. نمودار تغییرات انرژی نسبی دی پپتید For-L-Ser-L-Ala-NH<sub>2</sub> بر حسب زاویه دو وجهی زنجیر جانبی ( $\chi$ ) در سطح B3LYP/6-31G(d).



شکل ۶. ساختارهای سه بعدی پهنه شده کنفورمرهای الف) آنتی (a) (ب) گویج مثبت ( $g^+$ ) (ج) گویج منفی ( $g^-$ ) حاصل از چرخش حول زنجیر جانبی دی پپتید For-L-Ser-L-Ala-NH<sub>2</sub> در سطح B3LYP/6-31G(d).

### ۲-۳. بررسی کنفورماسیونی زنجیر اصلی

در ابتدا زنجیر جانبی سرین را در سه موقعیت آنتی، گویج مثبت و گویج منفی قرار داده و زوایای زنجیر اصلی را برای دو باقیمانده سرین و آلانین طوری تغییر می دهیم تا کنفورمرهای مختلف مربوط به نقشه های رامانچاندرا طبق شکل ۴ حاصل گردد و سپس با استفاده از محاسبات کوانتومی در سطح B3LYP/6-31G(d) ساختارهای پهنه حاصل از چرخش حول چهار زاویه دووجهی  $\psi_1, \phi_1, \psi_2, \phi_2$  را بدست می آوریم. بررسی کنفورماسیون های مختلف حاصل از تغییر زوایای دووجهی زنجیر اصلی برای دی پپتید محافظت شده Ser-Ala (SA)، طی دو مرحله انجام شده است: در مرحله اول زوایای چرخشی باقیمانده پپتیدی سرین ( $\psi_1, \phi_1$ ) را برای سه کنفورمر مختلف حاصل از چرخش حول زنجیر جانبی ( $a, g^+, g^-$ )، در موقعیت  $\beta_L$  قرار داده (که به ترتیب با  $\beta_L^a, \beta_L^+$  و  $\beta_L^-$  نشان داده می شوند) و سپس باقیمانده پپتیدی آلانین را طبق شکل ۴، در ۹ حالت کنفورماسیونی مختلف ( $\alpha_D, \gamma_D, \varepsilon_D, \delta_L$ ) قرار داده و ساختارهای پهنه را بدست می آوریم. نتایج حاصل از محاسبات مربوطه در جدول ۲ آورده شده است.

جدول ۲. مقادير انرژى (E) و زواياى دووجهى ساختارهاى بهينه شده كنفورمهاى مختلف For-L-Ser-L-Ala-NH<sub>2</sub> در حالت  $\beta_L^i - \chi$ 

$(i = a)$	$\phi_1$	$\psi_1$	$\phi_2$	$\psi_2$	$\chi$	Energy (Hartree)
$\beta_L^a \beta_L$	199.99	187.60	196.89	202.59	191.42	-739.7539908
$\beta_L^a \gamma_L$	200.54	186.57	287.18	55.81	190.59	-739.7535868
$\beta_L^a \gamma_D$	198.41	189.10	82.57	287.54	190.80	-739.7568433
$\beta_L^a \delta_L$	199.24	188.33	171.25	36.46	190.23	-739.7497720
$\beta_L^a \delta_D$	199.66	183.52	127.58	343.93	189.96	-739.7533237
$\beta_L^a \alpha_L$	197.93	159.35	295.09	331.78	177.24	-739.7508371
$\beta_L^a \alpha_D^{**}$	199.53	184.06	130.33	343.17	189.99	-739.7533296
$\beta_L^a \varepsilon_L$	199.31	165.58	302.27	151.91	177.12	-739.7571952
$\beta_L^a \varepsilon_D^{**}$	199.74	189.21	83.06	287.00	190.30	-739.7568567
$(i = g^+)$	$\phi_1$	$\psi_1$	$\phi_2$	$\psi_2$	$\chi$	Energy (Hartree)
$\beta_L^+ \beta_L$	200.44	172.92	160.65	194.34	66.82	-739.7492010
$\beta_L^+ \gamma_L$	200.87	169.20	288.06	62.42	67.61	-739.7459026
$\beta_L^+ \gamma_D$	201.11	170.83	84.00	285.56	67.13	-739.7499554
$\beta_L^+ \delta_L$	198.97	175.17	170.62	38.93	68.20	-739.74023325
$\beta_L^+ \delta_D$	198.02	172.41	132.50	339.86	70.99	-739.7458780
$\beta_L^+ \alpha_L$	197.21	178.78	295.51	338.74	73.85	-739.7477650
$\beta_L^+ \alpha_D^{**}$	197.97	172.32	132.34	340.08	71.08	-739.7458783
$\beta_L^+ \varepsilon_L$	202.67	168.18	304.71	154.34	65.55	-739.7502175
$\beta_L^+ \varepsilon_D^{**}$	200.53	171.27	84.10	285.55	67.32	-739.7499514
$(i = g^-)$	$\phi_1$	$\psi_1$	$\phi_2$	$\psi_2$	$\chi$	Energy (Hartree)
$\beta_L^- \beta_L$	235.02	148.90	159.15	192.04	-64.69	-739.7450741
$\beta_L^- \gamma_L^{**}$	279.40	62.91	286.18	49.66	-48.78	-739.7507411
$\beta_L^- \gamma_D$	238.58	135.50	82.21	286.79	-63.67	-739.7464487
$\beta_L^- \delta_L$	238.47	136.05	167.13	37.29	-65.24	-739.7366736
$\beta_L^- \delta_D^{**}$	303.53	120.73	109.01	343.69	-51.53	-739.7526249
$\beta_L^- \alpha_L^{**}$	280.03	69.19	294.17	325.92	-48.82	-739.7471790
$\beta_L^- \alpha_D^{**}$	303.47	120.58	109.22	343.73	-51.50	-739.7526249
$\beta_L^- \varepsilon_L$	236.07	146.80	301.66	151.44	-67.95	-739.7386215
$\beta_L^- \varepsilon_D^{**}$	239.93	134.20	82.40	286.98	-63.53	-739.7464545

\* ( $i = a, g^+, g^-$ ), \*\* NOT FOUND (N/F)

بر اساس نتایج جدول ۲ از بین ۲۷ کنفورمر مورد مطالعه بر روی نقشه رامچاندرا طبق شکل ۴، با ساختار کلی  $\beta_L^i - x$  نقشه رامچاندرا مهاجرت<sup>۱</sup> کرده‌اند. از بین ۲۷ کنفورمر مذکور کنفورمر  $\beta_L^a \varepsilon_L$  بیشترین پایداری ترمودینامیکی را دارد. از بین ۹ ساختاری که به نواحی دیگر مهاجرت کرده‌اند در ۵ مورد، کنفورمسیون‌های  $\alpha_D$  و  $\varepsilon_D$  باقیمانده آلانین، به ترتیب به  $\delta_D$  و  $\gamma_D$  مهاجرت کرده‌اند در صورتیکه باقیمانده سرین کنفورمسیون اولیه  $\beta_L$  خود را حفظ نموده است. از ۴ ساختار باقیمانده، ( $i = g^-$ ) که تحت مهاجرت قرار گرفته‌اند در ۲ مورد کنفورمسیون  $\beta_L$  سرین به  $\gamma_L$  تبدیل شده است در حالیکه آلانین کنفورمسیون اولیه خود را حفظ کرده است که شامل  $\beta_L \alpha_L$  و  $\beta_L \gamma_L$  بوده و به ترتیب به کنفورمسیون‌های  $\gamma_L \alpha_L$  و  $\gamma_L \gamma_L$  مهاجرت کرده‌اند. برای ۲ مورد دیگر کنفورمسیون هر دو باقیمانده سرین و آلانین در دی‌پپتید محافظت شده L-Ser-L-Ala تغییر کرده‌اند که شامل  $\beta_L \alpha_D$  و  $\beta_L \delta_D$  هستند و هر دو به ناحیه مربوط به کنفورمر  $\varepsilon_L \gamma_D$  در نقشه رامچاندرا مهاجرت کرده‌اند که در شکل ۷ نشان داده شده‌اند.

Initial Conformations			Initial Conformations		
$\beta_L \gamma_D$	$\beta_L \delta_D$	$\beta_L \alpha_L$	$\gamma_D \beta_L$	$\delta_D \beta_L$	$\alpha_L \beta_L$
$\beta_L \varepsilon_D$	$\beta_L \beta_L$	$\beta_L \varepsilon_L$	$\varepsilon_D \beta_L$	$\beta_L \beta_L$	$\varepsilon_L \beta_L$
$\beta_L \alpha_D$	$\beta_L \delta_L$	$\beta_L \gamma_L$	$\alpha_D \beta_L$	$\delta_L \beta_L$	$\gamma_L \beta_L$
Final Conformations for anti (a)			Final Conformations for anti (a)		
$\beta_L \gamma_D$	$\beta_L \delta_D$	$\beta_L \alpha_L$	$\gamma_D \beta_L$	$\delta_D \beta_L$	$\alpha_L \beta_L$
$\beta_L \gamma_D^*$	$\beta_L \beta_L$	$\beta_L \varepsilon_L$	$\varepsilon_D \beta_L$	$\beta_L \beta_L$	$\beta_L \beta_L^*$
$\beta_L \delta_D^*$	$\beta_L \delta_L$	$\beta_L \gamma_L$	$\alpha_D \beta_L$	$\beta_L \beta_L^*$	$\gamma_L \gamma_D^*$
Final Conformations for gauche + ( $g^+$ )			Final Conformations for gauche + ( $g^+$ )		
$\beta_L \gamma_D$	$\beta_L \delta_D$	$\beta_L \alpha_L$	$\gamma_D \beta_L$	$\delta_D \beta_L$	$\gamma_L \beta_L^*$
$\beta_L \gamma_D^*$	$\beta_L \beta_L$	$\beta_L \varepsilon_L$	$\gamma_D \beta_L^*$	$\beta_L \beta_L$	$\beta_L \beta_L^*$
$\beta_L \delta_D^*$	$\beta_L \delta_L$	$\beta_L \gamma_L$	$\alpha_D \beta_L$	$\gamma_L \beta_L^*$	$\gamma_L \beta_L$
Final Conformations for gauche - ( $g^-$ )			Final Conformations for gauche - ( $g^-$ )		
$\beta_L \gamma_D$	$\varepsilon_L \gamma_D^{*f}$	$\gamma_L \alpha_L^*$	$\gamma_D \beta_L$	$\alpha_L \beta_L^*$	$\alpha_L \beta_L$
$\beta_L \gamma_D^*$	$\beta_L \beta_L$	$\beta_L \varepsilon_L$	$\gamma_D \beta_L^*$	$\beta_L \beta_L$	$\varepsilon_L \beta_L$
$\varepsilon_L \gamma_D^{*f}$	$\beta_L \delta_L$	$\gamma_L \gamma_L^*$	$\alpha_D \beta_L$	$\gamma_L \beta_L^*$	$\gamma_L \beta_L$

شکل ۷. کنفورمسیون‌های اولیه<sup>۲</sup> و نهایی دی‌پپتید محافظت شده For-L-Ser-L-Ala-NH<sub>2</sub> برای سه کنفورمسیون مختلف زنجیر جانبی ( $a, g^+, g^-$ ) بدست آمده از محاسبات کوانتومی به روش B3LYP/6-31G(d). ۳۵ کنفورمسیون ذاتاً پایدار بدست آمده است و ۱۹ کنفورمسیون به ساختارهای پایدارتر مهاجرت نموده‌اند. بالاوند\* مربوط به کنفورمسیون‌هایی است که ضمن مهاجرت به ساختار جدید در آن‌ها باقیمانده‌های Ser یا Ala کنفورمسیون اولیه خود را حفظ نموده و \*f به مواردی که هر دو باقیمانده دچار تغییر کنفورمسیونی شده‌اند، اشاره دارد.

1. Migration

2. Initial conformations



جدول ۳. مقادیر انرژی (E) و زوایای دووجهی ساختارهای بهینه شده کنفورم‌های مختلف For-L-Ser-L-Ala-NH<sub>2</sub> در حالت  $x^i - \beta_L$ \*

$(i = a)$	$\phi_1$	$\psi_1$	$\phi_2$	$\psi_2$	$\chi$	Energy (Hartree)
$\beta_L^a \beta_L$	199.99	187.60	196.89	202.59	191.42	-739.7539908
$\gamma_L^a \beta_L^{**}$	278.67	62.85	81.38*	285.59	180.33	-739.7587352
$\gamma_D^a \beta_L$	73.53	287.06	153.31	201.93	190.94	-739.7420916
$\delta_L^a \beta_L^{**}$	200.15	188.16	162.73	201.99	191.30	-739.7540054
$\delta_D^a \beta_L$	206.13	295.52	153.19	187.67	176.46	-739.7403719
$\alpha_L^a \beta_L$	291.40	323.93	166.61	197.51	183.82	-739.7376675
$\alpha_D^a \beta_L$	61.75	32.66	154.46	191.94	192.18	-739.7522938
$\varepsilon_L^a \beta_L^{**}$	199.73	187.93	162.80	202.15	191.30	-739.7540061
$\varepsilon_D^a \beta_L$	72.67	193.60	162.00	198.11	201.04	-739.7471311
$(i = g^+)$	$\phi_1$	$\psi_1$	$\phi_2$	$\psi_2$	$\chi$	Energy (Hartree)
$\beta_L^+ \beta_L$	200.44	172.92	160.65	194.34	66.82	-739.7492010
$\gamma_L^+ \beta_L$	276.13	78.00	159.29	197.24	55.54	-739.7593146
$\gamma_D^+ \beta_L$	57.64	327.97	155.61	206.53	69.38	-739.7359904
$\delta_L^+ \beta_L^{**}$	246.71	11.17	158.32	192.66	52.44	-739.7510546
$\delta_D^+ \beta_L$	239.11	275.41	154.04	192.79	54.52	-739.7466960
$\alpha_L^+ \beta_L^{**}$	246.65	11.15	158.39	192.69	52.44	-739.7510546
$\alpha_D^+ \beta_L$	41.99	56.30	149.20	189.61	62.34	-739.7486041
$\varepsilon_L^+ \beta_L^{**}$	201.01	173.06	160.44	193.55	66.98	-739.7492017
$\varepsilon_D^+ \beta_L^{**}$	39.37	245.79	165.40	202.30	64.18	-739.7391453
$(i = g^-)$	$\phi_1$	$\psi_1$	$\phi_2$	$\psi_2$	$\chi$	Energy (Hartree)
$\beta_L^- \beta_L$	235.02	148.90	159.15	192.04	-64.69	-739.7450741
$\gamma_L^- \beta_L$	275.54	60.24	154.69	201.43	-49.26	-739.7477055
$\gamma_D^- \beta_L$	75.86	297.95	154.54	201.08	-60.52	-739.7439125
$\delta_L^- \beta_L^{**}$	245.08	12.32	158.54	192.32	-56.43	-739.7462008
$\delta_D^- \beta_L^{**}$	286.30	340.62	164.32	196.57	-52.26	-739.7471374
$\alpha_L^- \beta_L$	286.24	340.49	164.56	196.48	-52.29	-739.7471351
$\alpha_D^- \beta_L$	61.52	35.90	153.35	191.98	-58.78	-739.7458161
$\varepsilon_L^- \beta_L$	300.94	121.08	154.38	190.96	-52.20	-739.7458440
$\varepsilon_D^- \beta_L^{**}$	75.39	298.08	154.18	201.61	-61.00	-739.7439388

\* ( $i = a, g^+, g^-$ ), \*\* NOT FOUND (N/F)

در مرحله بعدی برای هر یک از سه کنفورمر زنجیر جانبی  $(g^-, g^+, a)$ ، به صورت جداگانه، زوایای دوجهی باقیمانده پیتیدی آلانین  $(\psi_2, \phi_2)$  را در موقعیت  $\beta_L$  قرار داده و سپس باقیمانده پیتیدی سرین را طبق جدول شکل ۴، در ۹ حالت کنفورماسیونی مختلف  $(\alpha_D, \varepsilon_D, \gamma_D, \delta_L, \beta_L, \delta_D, \gamma_L, \varepsilon_L, \alpha_L)$  قرار داده و ساختارهای بهینه را بدست می‌آوریم. نتایج حاصل از محاسبات مربوطه در جدول ۳ نشان داده شده است.

همانطور که نتایج جدول ۳ نشان می‌دهد، از بین ۲۷ کنفورمر مورد مطالعه بر روی نقشه های رامچاندرا با ساختار کلی  $x^i - \beta_L$  ( $i = a, g^+, g^-$ )، ۱۷ ساختار یافت شدند و ۱۰ ساختار یافت نشدند، به عبارتی به نواحی کنفورماسیونی دیگری بر روی نقشه رامچاندرا مهاجرت کرده‌اند. از بین ۲۷ کنفورمر با ساختار  $\gamma_L^+ \beta_L, x^i - \beta_L$  کنفورماسیونی با کمترین سطح انرژی و به عبارت دیگر بیشترین پایداری ترمودینامیکی را دارد. از بین ۱۰ کنفورمری که به نواحی دیگر بر روی نقشه رامچاندرا مهاجرت کرده‌اند در ۹ مورد باقیمانده آلانین کنفورماسیون اولیه،  $(\beta_L)$ ، خود را حفظ کرده و فقط در یک مورد آلانین به کنفورماسیون دیگری مهاجرت نموده است که در مورد اخیر کنفورماسیون باقیمانده سرین در حالت اولیه خود باقیمانده است.

در ۱۰ کنفورمری که تحت مهاجرت قرار گرفته‌اند، کنفورماسیون‌های  $\alpha_L$  و  $\delta_L$  به ترتیب در ۲ و ۱ مورد به کنفورماسیون  $\gamma_L$  تبدیل شده‌اند. همچنین کنفورماسیون  $\delta_L$  در یک مورد نیز به کنفورماسیون  $\beta_L$  مهاجرت کرده است. در ۲ مورد نیز کنفورماسیون-های  $\varepsilon_L$  و  $\varepsilon_D$  به ترتیب به  $\beta_L$  و  $\gamma_D$  تغییر نموده‌اند و در یک مورد  $\delta_D$  به  $\alpha_L$  مهاجرت کرده است. در همه موارد اشاره شده در این بخش کنفورماسیون آلانین حفظ شده است فقط در یک مورد کنفورماسیون هر دو باقیمانده پیتیدی دچار تغییر شده‌اند که مربوط به کنفورماسیون  $\gamma_L \beta_L$  در حالت آنتی است که به  $\gamma_L \gamma_D$  تغییر یافته است و به طور کامل در شکل ۷ آورده شده‌اند.

به طور کلی می‌توان بیان نمود از بین ۵۴ کنفورماسیون‌های مورد بررسی ۳۵ کنفورماسیون یافت شدند و ۱۹ کنفورماسیون یافت نشدند و عمدتاً به کنفورماسیون‌های پایدارتری مهاجرت نموده‌اند. از بین این ۵۴ کنفورمر سه کنفورماسیون پایدارتر عبارتند از  $\gamma_L^+ \beta_L, \gamma_L^a \beta_L$  و  $\beta_L^a \varepsilon_L$  که ترتیب پایداری آنها به صورت  $\gamma_L^+ \beta_L > \gamma_L^a \beta_L > \beta_L^a \varepsilon_L$  است. (جدول ۲ و ۳). همانطور که توضیح داده شد کنفورماسیون  $\gamma_L^a \beta_L$  به  $\gamma_L^a \gamma_D$  مهاجرت نموده است.

انرژی‌های نسبی  $(\Delta E_{rel})$  کنفورماسیون‌های مختلف دی‌پپتید For-Ser-Ala-NH<sub>2</sub> با استفاده از محاسبات کوانتومی در سطح B3LYP/6-31G(d) در جدول ۴ آورده شده‌اند. انرژی‌های نسبی در مقایسه با پایدارترین کنفورماسیون  $\gamma_L^+ \beta_L$  محاسبه شده‌اند.

همانطور که نتایج جدول ۴ و شکل ۷ نشان می‌دهند برای حالت  $\beta_L^i - x$  ساختارهای  $\alpha_D$  و  $\varepsilon_D$  برای هیچ یک از کنفورماسیون‌های زنجیر جانبی یافت نشدند و برای حالت  $x^i - \beta_L$  نیز هیچ کدام از کنفورماسیون‌های  $\delta_L$  یافت نشدند و به کنفورماسیون‌های پایدارتر مهاجرت کردند. همچنین در بین ۳۵ کنفورمر یافت شده  $\gamma_L^+ \beta_L$  پایدارترین و  $\gamma_D^+ \beta_L$  ناپایدارترین کنفورماسیون بوده که انرژی و انرژی نسبی آنها به ترتیب  $-۷۳۹/۷۵۹۳۱۴۶$ ،  $-۷۳۹/۷۵۳۹۹۰۴$  هارتری و  $۰$ ،  $۱۴/۶۴$  کیلوکالری بر مول هستند (جدول ۴).

جدول ۴. انرژی‌های نسبی  $\Delta E_{rel}$  ( $kCalmol^{-1}$ ) کنفورم‌های مختلف For-L-Ser-L-Ala-NH<sub>2</sub>

$BB[i](Ser)$	SC	$BB[i+1](Ala)$								
		$\beta_L$	$\gamma_L$	$\gamma_D$	$\delta_L$	$\delta_D$	$\alpha_L$	$\alpha_D$	$\varepsilon_L$	$\varepsilon_D$
$\beta_L$	$a$	3.34	3.59	1.55	5.99	3.76	5.32	Not found	1.33	Not found
$\beta_L$	$g^+$	6.35	8.42	5.87	11.97	8.43	7.25	Not found	5.71	Not found
$\beta_L$	$g^-$	8.95	Not found	8.07	14.21	Not found	Not found	Not found	12.99	Not found
$BB[i](Ala)$	SC	$BB[i+1](Ser)$								
		$\beta_L$	$\gamma_L$	$\gamma_D$	$\delta_L$	$\delta_D$	$\alpha_L$	$\alpha_D$	$\varepsilon_L$	$\varepsilon_D$
$\beta_L$	$a$	3.34	Not found	10.81	Not found	11.89	13.58	4.41	Not found	7.65
$\beta_L$	$g^+$	6.35	<b>0.00</b>	14.64	Not found	7.92	Not found	6.72	Not found	Not found
$\beta_L$	$g^-$	8.94	7.28	9.66	Not found	Not found	7.64	8.47	8.45	Not found

انرژی نسبی کنفورماسیون‌هایی که یافت نشده‌اند (Not found) و به کنفورماسیون‌های پایدارتر مهاجرت کرده‌اند، به شرح زیر است:

$$\beta_L^a \alpha_D = 3.76, \beta_L^a \varepsilon_D = 1.54, \beta_L^+ \alpha_D = 8.43, \beta_L^+ \varepsilon_D = 5.88, \beta_L^- \gamma_L = 5.38, \beta_L^- \delta_D = 4.20, \beta_L^- \alpha_L = 7.62, \beta_L^- \alpha_D = 4.20, \beta_L^- \varepsilon_D = 8.07$$

$$\gamma_L^a \beta_L = 0.36, \delta_L^a \beta_L = 3.33, \varepsilon_L^a \beta_L = 3.33, \delta_L^+ \beta_L = 5.18, \alpha_L^+ \beta_L = 5.18, \varepsilon_L^+ \beta_L = 6.35, \varepsilon_D^+ \beta_L = 12.66, \delta_L^- \beta_L = 8.23, \delta_D^- \beta_L = 7.64,$$

$$\varepsilon_D^- \beta_L = 9.65$$

#### ۴. نتیجه گیری

آنالیز کنفورماسیونی دی‌پتید محافظت‌شده For-L-Ser-L-Ala-NH<sub>2</sub> با استفاده از محاسبات کوانتومی در سطح B3LYP/6-

31G(d) انجام شده است نتایج محاسبات نشان می‌دهد:

۱- از بین ۵۴ کنفورماسیون‌های ناشی از چرخش حول زوایای دووجهی زنجیر جانبی سرین و زنجیر اصلی ۳۵ کنفورماسیون یافت شدند و ۱۹ کنفورماسیون یافت نشدند و عمدتاً به کنفورماسیون‌های پایدارتری مهاجرت نموده‌اند.

۲- از بین ۵۴ کنفورم مورد مطالعه سه کنفورماسیون پایدارتر عبارتند از  $\gamma_L^+ \beta_L$ ,  $\gamma_L^a \beta_L$  و  $\beta_L^a \varepsilon_L$  که ترتیب پایداری آنها به صورت  $\gamma_L^+ \beta_L > \gamma_L^a \beta_L > \beta_L^a \varepsilon_L$  است.

۳- همچنین در بین ۳۵ کنفورم یافت شده  $\gamma_L^+ \beta_L$  پایدارترین و  $\gamma_D^+ \beta_L$  ناپایدارترین کنفورماسیون‌ها با انرژی نسبی به ترتیب ۰ و ۱۴/۶۴ کیلوکالری بر مول هستند.

۴- از بین ۲۷ کنفورماسیون‌های مورد مطالعه با ساختار کلی  $\beta_L^i - x$ , ۹ ساختار یافت نشدند و به نواحی دیگری روی نقشه رامانچاندران مهاجرت کرده‌اند که در ۷ مورد، به ترتیب با حفظ کنفورماسیون اولیه سرین یا آلانین، کنفورماسیون‌های  $\alpha_D$  و  $\varepsilon_D$  به ترتیب به  $\delta_D$  و  $\gamma_D$  و  $\beta_L$  به  $\gamma_L$  مهاجرت کرده‌اند و در ۲ مورد دیگر کنفورماسیون هر دو باقیمانده سرین و آلانین تغییر کرده‌اند که شامل  $\beta_L \alpha_D$  و  $\beta_L \delta_D$  هستند و هر دو به ناحیه مربوط به کنفورم  $\varepsilon_L \gamma_D$  در نقشه رامانچاندران مهاجرت کرده‌اند.

۵- از بین ۲۷ کنفورم با ساختار  $\beta_L - x^i$ , ۱۰ کنفورم به نواحی دیگر بر روی نقشه رامانچاندران مهاجرت کرده‌اند که در ۹ مورد با حفظ کنفورماسیون آلانین، کنفورماسیون‌های  $\delta_L$  و  $\alpha_L$  به  $\gamma_L$ ، کنفورماسیون  $\delta_L$  به  $\beta_L$  و کنفورماسیون‌های  $\varepsilon_L$  و  $\varepsilon_D$  به ترتیب به  $\beta_L$  و  $\gamma_D$  تغییر نموده‌اند و در یک مورد  $\delta_D$  به  $\alpha_L$  مهاجرت کرده‌اند. فقط در مهاجرت  $\gamma_L^a \beta_L$  به  $\gamma_L^a \gamma_D$  کنفورماسیون هر دو باقیمانده پتیدی دچار تغییر شده‌اند.

## ۵. مراجع

- [1] Sahai, M.A., Motiwala, S.S., Chass, G.A., Pai, E.F., Penke, B. and Csizmadia, I.G., 2003. An ab initio exploratory study of the full conformational space of MeCO-l-threonine-NH-Me. *Journal of Molecular Structure: THEOCHEM*, 666, pp.251-267.
- [2] Daniel, R.A. and Errington, J., 2003. Control of cell morphogenesis in bacteria: two distinct ways to make a rod-shaped cell. *Cell*, 113(6), pp.767-776.
- [3] Perczel, A., McAllister, M.A., Csaszar, P. and Csizmadia, I.G., 1993. Peptide models 6. New. beta.-turn conformations from ab initio calculations confirmed by x-ray data of proteins. *Journal of the American Chemical Society*, 115(11), pp.4849-4858.
- [4] Tartaglia, G.G., Pechmann, S., Dobson, C.M. and Vendruscolo, M., 2007. Life on the edge: a link between gene expression levels and aggregation rates of human proteins. *Trends in biochemical sciences*, 32(5), pp.204-206.
- [5] Dobson, C.M., 2001. The structural basis of protein folding and its links with human disease. *Philosophical Transactions of the Royal Society of London. Series B: Biological Sciences*, 356(1406), pp.133-145.
- [6] Venkatachalam, C.M., 1968. Stereochemical criteria for polypeptides and proteins. V. Conformation of a system of three linked peptide units. *Biopolymers: Original Research on Biomolecules*, 6(10), pp.1425-1436.
- [7] Chun, C.P., Connor, A.A. and Chass, G.A., 2005. Ab initio conformational analysis of N-and C-terminally-protected valyl-alanine dipeptide model. *Journal of Molecular Structure: THEOCHEM*, 729(3), pp.177-184.
- [8] Brijbassi, S.U., Sahai, M.A., Setiadi, D.H., Chass, G.A., Penke, B. and Csizmadia, I.G., 2003. An ab initio exploratory study on the conformational features of the dipeptide MeCO-Ala-Ala-NH-Me in its four different configurations: determination of the behaviour of d-enantiomer amino acids within a peptide chain. *Journal of Molecular Structure: THEOCHEM*, 666, pp.291-301.
- [9] Chass, G.A., Sahai, M.A., Law, J.M., Lovas, S., Farkas, Ö., Perczel, A., Rivail, J.L. and Csizmadia, I.G., 2002. Toward a computed peptide structure database: The role of a universal atomic numbering system of amino acids in peptides and internal hierarchy of database. *International journal of quantum chemistry*, 90(2), pp.933-968.
- [10] IUPAC, I., 1970. Commission on biochemical nomenclature. *Biochemistry*, 9, p.3471.
- [11] Farkas, Ö., Perczel, A., Marcoccia, J.F., Hollósi, M. and Csizmadia, I.G., 1995. Peptide models XIII. Side-chain conformational energy surface  $E = E(\chi_1, \chi_2)$  of N-formyl-l-serinamide (For-l-Ser-NH<sub>2</sub>) in its  $\gamma_L$  or  $C7eq$  backbone conformation. *Journal of Molecular Structure: THEOCHEM*, 331(1-2), pp.27-36.
- [12] Ramachandran, G.T. and Sasisekharan, V., 1968. Conformation of polypeptides and proteins. In *Advances in protein chemistry* (Vol. 23, pp. 283-437). Academic Press.
- [13] Becke, A.D. and Johnson, E.R., 2005. Exchange-hole dipole moment and the dispersion interaction. *The Journal of chemical physics*, 122(15), p.154104.
- [14] Gaussian09, R.A., 2009. 1, mj frisch, gw trucks, hb schlegel, ge scuseria, ma robb, jr cheeseman, g. Scalmani, v. Barone, b. Mennucci, ga petersson et al., gaussian. Inc., Wallingford CT, 121, pp.150-166.

## Conformational analysis of For-L-Ser-L-Ala-NH<sub>2</sub> protected dipeptide using quantum calculations: A DFT study

Behzad Chahkandi<sup>\*1</sup>, Rezvan Mohammadabadi, Mehdi Nekoei

Department of Chemistry, Shahrood Branch, Islamic Azad University, Shahrood, Iran

Submitted: 06 July 2019, Revised: 16 August 2019, Accepted: 04 October 2019

### Abstract

In this study conformational analysis of HCO-Ser-Ala-NH<sub>2</sub> dipeptide were performed using DFT method at the B3LYP/6-31G(d) level of theory. For this purpose 54 conformations of serine-alanine protected dipeptide that derived from varying the backbone and sidechain dihedral angles ( $\psi_1, \phi_1, \psi_2, \phi_2$  and  $\chi$ ), were optimized. Then by using frequency calculations at the same level of calculations the stable conformers and thermodynamic values were obtained. Of the 54 considered conformations in this research, 35 conformations were found and 19 conformers were not found. Those that were not found have converged to a different geometry of lower energy and greater stability. Among 35 found conformers the  $\gamma_L^+ \beta_L$  and  $\gamma_D^+ \beta_L$  have the lowest and highest relative energy respectively, therefore are the most stable and unstable conformers respectively. The relative energy of  $\gamma_D^+ \beta_L$  is 14.64 kcalmol<sup>-1</sup>. The migration pattern show that of the 19 not found conformers with  $\beta_L^i - x$  and  $x^i - \beta_L$  general structures, migration to  $\gamma_D$  is more favorable.

**Keywords:** Copper complexes, Tripodal amine ligands, DFT, Charge transfer(CT).

<sup>\*</sup>Corresponding author : Behzad Chahkandi

Address: Department of Chemistry, Shahrood Branch, Islamic Azad University, Shahrood, Iran.

Tel: 02332394289

E-mail: b.chahkandi@gmail.com